

Méthodes de Kashiwara-Vergne-Rouvière pour certains espaces symétriques

Charles Torossian*

Résumé

Cet article est une suite de notre article [To1]. En utilisant une déformation "à la Kontsevich" de la formule de Campbell-Hausdorff pour les espaces symétriques, on retrouve les résultats de Rouvière [Rou1], sur la convolution des distributions invariantes, dans le cas des espaces symétriques résolubles et "très symétriques".

This paper follows our previous work [To1]. We study the case of symmetric spaces. We recover, by using a Kontsevich's deformation of the Baker-Campbell-Hausdorff formula, Rouvière's results [Rou1], on the convolution of invariant distributions, for solvable symmetric spaces and "very symmetric spaces".

Introduction

Dans notre article précédent [To1], suivant les idées élaborées par Kontsevich [Ko] pour la quantification formelle des variétés de Poisson et déjà utilisées dans [ADS] et [AST], nous avons montré comment résoudre certaines conjectures sur la formule de Campbell-Hausdorff (BCH in English). Plus précisément, nous avons construit une déformation de la formule BCH, qui vérifie une équation différentielle analogue à celle que l'on trouve dans l'article de Kashiwara-Vergne [KV]. Ces équations ont la même utilité que celles de l'article de Kashiwara-Vergne. En effet elles permettent de montrer, comme dans [ADS] et [AST], que l'application exponentielle modifiée par la racine carrée du jacobien, transporte la convolution des distributions invariantes sur les algèbres de Lie ([Du],[KV], [Ve],[Mo]).

Dans cet article nous considérons le cas des espaces symétriques.

Dans notre mémoire d'Habilitation [To2] nous avons par ailleurs abordé certains problèmes d'analyse harmonique pour les espaces symétriques. Nous avons notamment expliqué en quoi le comportement des espaces symétriques est à la fois proche et éloigné du cas des algèbres de Lie. On peut dire en résumant grossièrement, qu'il existe une catégorie

*UMR 8553 du CNRS, DMA-ENS, Ecole Normale Supérieure, 45 rue d'Ulm 75230 Paris cedex 05, Charles.Torossian@ens.fr

d'espaces symétriques pour laquelle les méthodes des groupes fonctionnent bien (cas nilpotent, résoluble, " $G_{\mathbb{C}}/G_{\mathbb{R}}$ ", cas "très symétrique"). Malheureusement le cas général des espaces symétriques ne peut pas être traité par des méthodes s'inspirant simplement du cas des groupes (voir la fin de cet article pour quelques remarques).

Dans cet article nous allons déformer la formule de Campbell-Hausdorff pour les espaces symétriques généraux.

Nous montrerons que cette déformation vérifie, dans les "bons" cas évoqués plus haut (résoluble ou très-symétrique), des équations analogues au cas des groupes. On en déduira que l'application exponentielle modifiée par la racine carrée du déterminant jacobien, transporte la convolution des germes de distributions invariantes. Nous retrouvons ainsi les résultats de Rouvière [Rou1] du cas résoluble. Notre démonstration fournit une preuve dans le cas très symétrique ce qui, à notre connaissance, est un résultat nouveau.

Remerciements : L'auteur remercie M. Pevzner et le département de mathématiques l'Université Libre de Bruxelles (ULB) pour leur invitation (fin janvier 2002). L'auteur y a finalisé les résultats de cet article. Nous remercions aussi les organisateurs du colloque Carmona pour leur invitation. Nous avons eu le plaisir d'y présenter les résultats de cet article.

1 Rappels

1.1 Rappels sur la formule de Kontsevich

La formule de Kontsevich associe à toute structure de Poisson régulière sur \mathbb{R}^d un étoile-produit formel associatif. Ce n'est qu'un cas particulier du théorème de formalité démontré par Kontsevich dans [Ko] théorème 6.4.

Lorsque f et g sont deux fonctions régulières sur \mathbb{R}^d et α un deux-vecteur de Poisson régulier sur \mathbb{R}^d , Kontsevich écrit dans [Ko] paragraphe 2, la formule suivante :

$$f \star g = fg + \sum_{n=1}^{\infty} \frac{h^n}{n!} \sum_{\substack{\Gamma \in G_{n,2} \\ \Gamma \text{ admissible}}} w_{\Gamma} B_{\Gamma}(f, g). \quad (1)$$

Cette formule munit l'espace des fonctions régulières sur \mathbb{R}^d d'une structure associative formelle. Dans cette formule h est un paramètre formel, $G_{n,2}$ désigne l'ensemble des graphes étiquetés avec n points de première espèce et 2 points de seconde espèce, Γ est un graphe dit admissible parmi les graphes de $G_{n,2}$, w_{Γ} est un coefficient obtenu par intégration sur un espace de configurations d'une forme différentielle dépendant de Γ et B_{Γ} est un opérateur bidifférentiel construit à partir de Γ .

Par souci de clarté et d'autonomie du texte nous allons préciser maintenant chacun des termes de cette formule et appliquer dans un second temps cette formule dans le cas

des structures de Poisson linéaires c'est-à-dire dans le cas du dual des algèbres de Lie.

1.1.1 Espaces de configurations

On note par $\text{Conf}_{n,m}$ l'espace des configurations de n points distincts dans le demi-plan de Poincaré (ce sont les points aériens) et de m points distincts sur la droite réelle (ce sont les points terrestres). Le groupe :

$$G^{(1)} = \{z \mapsto az + b \text{ avec } (a, b) \in \mathbb{R}_+^* \times \mathbb{R}\}$$

agit librement sur $\text{Conf}_{n,m}$. Le quotient :

$$C_{n,m} = \text{Conf}_{n,m}/G^{(1)}$$

est une variété de dimension $2n+m-2$. Compte tenu de l'action de ce groupe sur les points terrestres, on peut identifier deux des points terrestres aux points 0 et 1 (à condition que l'on ait $m \geq 2$, sinon on peut identifier un des points aériens au complexe i). Dans [Ko] paragraphe 5.1, Kontsevich construit des compactifications de ces variétés notées $\overline{C}_{n,m}$. Ce sont des variétés à coins de dimension $2n+m-2$. Ces variétés ne sont pas connexes pour $m \geq 2$. On notera par $\overline{C}_{n,m}^+$ la composante connexe qui contient les configurations où les points terrestres sont ordonnés dans l'ordre croissant (i.e. on a $\overline{1} < \overline{2} < \dots < \overline{m}$). On introduit de manière analogue des variétés de configurations de n points dans le plan complexe modulo l'action du groupe $G^{(2)} = \{z \mapsto az + b \text{ avec } (a, b) \in \mathbb{R}_+^* \times \mathbb{C}\}$. On les note C_n , ce sont des variétés de dimension $2n-3$. On note \overline{C}_n les compactifications associées ([Ko] paragraphe 5.1).

Ces variétés sont stratifiées et chaque strate est décrite par un arbre. En termes géométriques, les strates sont obtenues par concentrations itérées de points en des amas ([Ko] paragraphe 5.2).

1.1.2 Graphes admissibles

La notion de graphes admissibles est maintenant bien établie dans la littérature. On désigne par $G_{n,m}$ l'ensemble des graphes étiquetés et orientés (les arêtes sont orientées) ayant n sommets du première espèce (sommets aériens) et m sommets du deuxième espèce (sommets terrestres). Par graphe étiqueté on entend un graphe Γ muni d'un ordre total sur l'ensemble E_Γ de ses arêtes, compatible avec l'ordre des sommets.

Les graphes qui vont intervenir dans la formule de Kontsevich sont dans $G_{n,2}$ et vérifie des conditions supplémentaires. On dira qu'ils sont admissibles ([Ko] paragraphe 6.1 et paragraphe 2) si

1. Les arêtes partent toutes des sommets de première espèce.
2. Il part deux arêtes de chaque sommet de première espèce.
3. Le but d'une arête est différent de sa source (il n'y a pas de boucle).
4. Il n'y a pas d'arêtes multiples (même source, même but).

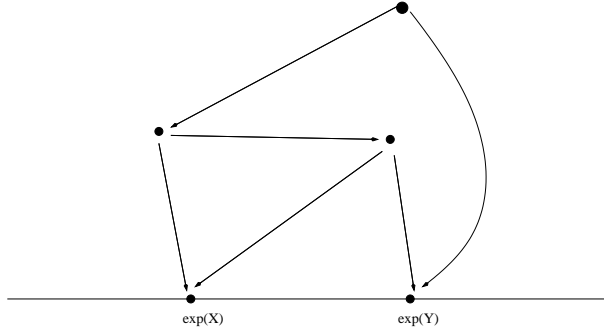


FIG. 1: Graphe admissible (de type Lie)

1.1.3 Opérateur différentiel associé à un graphe

Soit Γ un graphe admissible de $G_{n,2}$. De tout point aérien i partent deux arêtes numérotées (e_i^a, e_i^b) .

Soit α un deux-vecteur sur \mathbb{R}^d . On peut alors associer à tout graphe admissible un opérateur bi-différentiel sur \mathbb{R}^d comme expliqué dans [Ko] paragraphe 2. On notera $B_\Gamma(f, g)$ l'opérateur bidifférentiel associé que l'on suppose agir sur les fonctions f et g .

Expliquons heuristiquement la formule. Sur chaque sommet aérien on met le deux-vecteur et sur les sommets terrestres on met les fonctions f et g . Chaque arête arrivant sur un sommet dérive la fonction associée au sommet. On multiplie les fonctions ainsi obtenues et on somme sur toutes les possibilités. Concrètement la formule est la suivante. Pour chaque arête e , on note par $s(e)$ le point aérien source (départ) et par $b(e)$ le point but (arrivée). Dans la formule ci-dessous I décrit l'ensemble des applications de l'ensemble des arêtes E_Γ dans l'ensemble des indices de coordonnées $\{1, \dots, d\}$.

$$B_{\Gamma, \alpha}(f, g) = \sum_I \left[\prod_{k=1}^n \left(\prod_{\substack{e \in E_\Gamma \\ b(e)=k}} \partial_{I(e)} \alpha^{I(e^a)I(e^b)} \right) \right] \left(\prod_{\substack{e \in E_\Gamma \\ b(e)=\bar{1}}} \partial_{I(e)} f \right) \left(\prod_{\substack{e \in E_\Gamma \\ b(e)=\bar{2}}} \partial_{I(e)} g \right).$$

1.1.4 Forme d'angles

Soient deux points distincts (p, q) dans le demi-plan de Poincaré muni de la métrique de Lobachevsky. On note

$$\phi(p, q) = \frac{1}{2i} \log \left(\frac{(q-p)(\bar{q}-p)}{(q-\bar{p})(\bar{q}-\bar{p})} \right). \quad (2)$$

C'est l'angle entre la géodésique (p, ∞) et (p, q) où l'infini peut être vu comme l'infini sur la droite réelle (figure [2])

La fonction d'angle s'étend à la compactification $\overline{\mathcal{C}}_{2,0}$ en une fonction d'angle régulière. La variété $\overline{\mathcal{C}}_{2,0}$ est précisément décrite dans l'article de Kontsevich ([Ko] paragraphe 5.2), c'est le fameux œil (figure [3]). On remarquera, mais c'est tautologique vu la construction

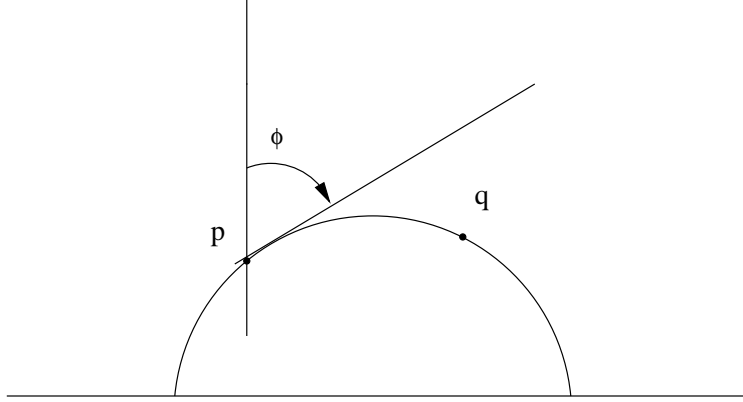


FIG. 2: Fonction d'angle

des compactifications, que lorsque les points p, q s'approchent selon un angle θ , la fonction d'angle vaut précisément cet angle. Lorsque p s'approche de l'axe réel la fonction d'angle est nulle et lorsque q s'approche de l'axe réel on obtient deux fois l'angle de demi-droite avec l'axe réel.

Comme la fonction d'angle est régulière sur la compactification, on peut considérer sa différentielle qui est alors une 1-forme sur $\overline{\mathcal{C}}_{2,0}$.

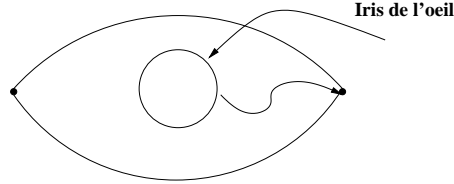


FIG. 3: La variété $\overline{\mathcal{C}}_{2,0}$, dite œil de Kontsevich

1.1.5 Poids associé à un graphe

Si Γ est un graphe admissible dans $G_{n,2}$, alors toute arête e définit par restriction une fonction d'angle notée ϕ_e sur la variété $\overline{\mathcal{C}}_{n,2}^+$. Le produit ordonné

$$\Omega_\Gamma = \bigwedge_{e \in E_\Gamma} d\phi_e \quad (3)$$

est donc une $2n$ -forme sur $\overline{\mathcal{C}}_{n,2}^+$ qui est de dimension aussi $2n$. Le poids associé sera donc

$$w_\Gamma = \frac{1}{(2\pi)^{2n}} \int_{\overline{\mathcal{C}}_{n,2}^+} \Omega_\Gamma. \quad (4)$$

1.1.6 Permutation des arêtes

Soit Γ un graphe admissible dans $G_{n,2}$ et α un deux-vecteur régulier sur \mathbb{R}^d . Le groupe $\underbrace{S_2 \times \cdots \times S_2}_n$, produit des groupes de permutations des arêtes attachés à chaque sommet, agit naturellement sur Γ par permutation de l'étiquetage des arêtes. On vérifie que l'on a ($\varepsilon(\sigma)$ désigne la signature de la permutation σ) :

$$\begin{aligned} B_{\sigma.\Gamma} &= \varepsilon(\sigma)B_\Gamma \\ w_{\sigma.\Gamma} &= \varepsilon(\sigma)w_\Gamma, \end{aligned} \tag{5}$$

de sorte que le produit $w_\Gamma.B_\Gamma$ ne dépend pas de l'étiquetage. On remarque aussi que le coefficient w_Γ et l'opérateur B_Γ ne dépendent pas de l'ordre des sommets.

1.1.7 Principe de la démonstration

L'associativité de l'étoile-produit défini par Kontsevich résulte de deux ingrédients. Le premier ingrédient est la formule de Stokes qui va donner des relations entre les coefficients w_Γ . Le deuxième ingrédient est un lemme fondamental ([Ko] lemme 6.6) qui assure que les concentrations aériennes de plus de trois points auront des contributions nulles. Au final le défaut d'associativité de cet étoile-produit sera nul car le deux-vecteur α est un deux-vecteur de Poisson ([Ko] paragraphe 6.4).

1.2 Le cas linéaire

Soit \mathfrak{g} une algèbre de Lie de dimension finie sur \mathbb{R} . L'espace vectoriel dual \mathfrak{g}^* possède une structure de Poisson linéaire donnée par la moitié du crochet de Lie. Ces deux notions sont équivalentes. Si e_1, \dots, e_d désigne une base de \mathfrak{g} , e_1^*, \dots, e_d^* la base duale et ∂_i la dérivée dans la direction du vecteur e_i^* , alors le deux-vecteur de Poisson associé est $\alpha = \frac{1}{2} \sum_{i,j} [e_i, e_j] \partial_i \otimes \partial_j$.

Dans ce cas ([Ko] théorème 8.3.1) l'ordre des opérateurs B_Γ est suffisamment croissant de sorte que, lorsque f et g sont deux fonctions polynomiales, la formule de Kontsevich est en fait une somme finie. Cet étoile-produit vérifie pour X, Y dans \mathfrak{g} (considérés comme des fonctions linéaires sur \mathfrak{g}^*) la relation

$$X \star Y - Y \star X = h[X, Y].$$

En localisant en $h = 1$, l'étoile-produit de Kontsevich définit donc sur l'algèbre symétrique $S[\mathfrak{g}]$ une structure isomorphe à l'algèbre enveloppante de \mathfrak{g} ([Ko] théorème 8.3.1).

1.2.1 Géométrie des graphes

Dans le cas linéaire, les graphes qui vont intervenir de manière non triviale dans la formule (1) ont une description relativement simple. En effet chaque sommet de première

espèce ne pourra recevoir qu'au plus une arête : ce sont par définition les graphes pertinents (relevant graphs) et on renvoie le lecteur à l'article [AST] paragraphe 3.1 pour une description précise des graphes pertinents qui interviennent dans la formule finale.

En fait des arguments élémentaires (détaillés dans [AST] paragraphe 3.1) montrent que tout graphe admissible pertinent se décompose en produit de graphes simples. Il y a deux types de graphes simples : ceux qui contiennent une seule roue (et donc pas de racine) comme dans la figure [4] on les appellera *graphes de type roue* ([AST] définition 3.1.1) et ceux qui contiennent une seule racine (et donc pas de roue) comme dans la figure [1], ce sont les *graphes de type Lie* ([Ka] définition 3.1).

1.2.2 Symbole de B_Γ

Dans [AST] paragraphe 3 on a associé à chaque graphe admissible Γ un symbole a_Γ . C'est une fonction de $\mathfrak{g} \times \mathfrak{g}$ à valeurs dans $S[\mathfrak{g}]$ donnée par la formule pour X, Y dans \mathfrak{g}

$$a_\Gamma(X, Y) = B_\Gamma(e^X, e^Y)e^{-X-Y}.$$

Par exemple le symbole associé au graphe de la figure [1] est

$$a_\Gamma(X, Y) = \frac{1}{8}[[X, [X, Y]], Y]$$

et le symbole associé au graphe de la figure [4] est

$$a_\Gamma(x, y) = \frac{1}{2^5} \text{tr}_{\mathfrak{g}}(\text{ad}[X, Y] \text{ad}X \text{ad}Y \text{ad}Y).$$

Lorsque le graphe est simple de type Lie, alors $a_\Gamma(X, Y)$ est naturellement un élément de l'algèbre de Lie engendrée par X et Y . Lorsque Γ est produit de graphes simples, le symbole est le produit des symboles associés ([AST] lemme 3.6).

1.2.3 Formule de Campbell-Hausdorff en termes de graphes

Comme démontré dans [Ka] théorème 5.1, la formule de Campbell-Hausdorff s'écrit alors pour X et Y dans \mathfrak{g} (la série est convergente pour X et Y proches de 0)

$$Z(X, Y) = X + Y + \sum_{n=1}^{\infty} \frac{1}{n!} \sum_{\Gamma} w_\Gamma a_\Gamma(X, Y). \quad (6)$$

où la somme porte sur les graphes simples de type Lie. Les graphes qui contribuent de manière non triviale dans cette formule n'ont donc qu'une racine et ne possèdent pas de symétries. Par conséquent les graphes étiquetés (numérotés) associés à un graphe géométrique (graphe orienté associé pour lequel on oublie l'étiquetage) sont au nombre de $n!2^n$. Le terme $n!$ se compense avec le terme $\frac{1}{n!}$ et le terme 2^n disparaît aussi car on a pris le deux-vecteur de Poisson associé à la moitié du crochet de Lie. On notera $\Gamma(X, Y)$ le

symbole associé au graphe géométrique lorsqu'on prend le deux-vecteur de Poisson associé au crochet de Lie. On a alors la formule plus synthétique suivante

$$Z(X, Y) = X + Y + \sum_{\Gamma} w_{\Gamma} \Gamma(X, Y) \quad (7)$$

où la somme porte sur les graphes géométriques simples de type Lie. On remarquera toutefois que le symbole $\Gamma(X, Y)$ est mal défini si le graphe n'est pas étiqueté. Pour résoudre ce problème il suffit de remarquer que c'est aussi le cas pour le coefficient w_{Γ} et que ces deux difficultés se compensent grâce aux équations (5).

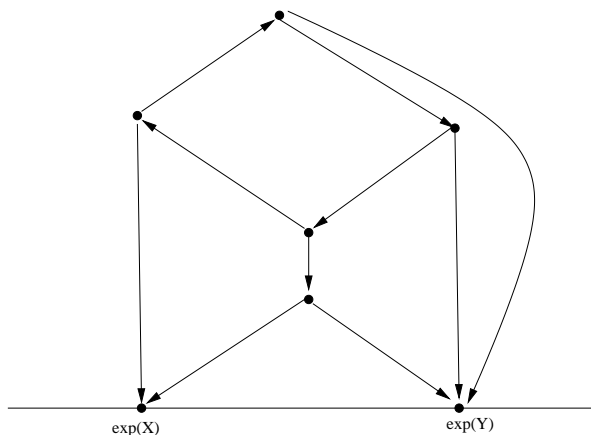


FIG. 4: Graphe simple de type Roue

1.2.4 Symbole formel de l'étoile-produit dans le cas linéaire et fonction de densité

La propriété multiplicative du symbole et la combinatoire sur les graphes assurent que le symbole formel associé à l'étoile-produit de Kontsevich est, dans le cas des algèbres de Lie, un produit de deux termes de type exponentiel correspondant aux contributions des graphes simples de type Lie (c'est la formule de Campbell-Hausdorff par [Ka] théorème 5.1) et des graphes simples de type roue (c'est la fonction de densité par [AST] proposition 3.7). Le symbole formel vu dans $S[\mathfrak{g}][[\hbar]]$, vérifie alors ([AST] proposition 3.8)

$$(\exp(X) \star \exp(Y)) \exp(-X - Y) = D(\hbar X, \hbar Y) \exp\left(\frac{1}{\hbar} Z(\hbar X, \hbar Y) - X - Y\right) \quad (8)$$

avec $D(X, Y)$ la fonction de densité (série convergente pour X et Y proches de 0) :

$$D(X, Y) = \exp\left(\sum_{\Gamma} w_{\Gamma} \Gamma(X, Y)\right) \quad (9)$$

où la somme porte sur l'ensemble des graphes géométriques simples et de type roue. On montre ([AST] proposition 3.12) que cette fonction vaut

$$D(X, Y) = \frac{j^{1/2}(X)j^{1/2}(Y)}{j^{1/2}(Z(X, Y))} \quad (10)$$

avec j le déterminant jacobien de l'application exponentielle à savoir

$$j(X) = \det_{\mathfrak{g}} \left(\frac{1 - \exp(-\text{ad}X)}{\text{ad}X} \right). \quad (11)$$

1.3 Rappel sur les espaces symétriques

Soit \mathfrak{g} une algèbre de Lie de dimension finie sur \mathbb{R} , on appelle paire symétrique, tout couple (\mathfrak{g}, σ) avec σ une automorphisme de Lie involutif. Habituellement on note $\mathfrak{g} = \mathfrak{k} \oplus \mathfrak{p}$ la décomposition en espaces propres relativement à σ .

Lorsque \mathfrak{g} est l'algèbre de Lie d'un groupe de Lie G (connexe et simplement connexe) et σ la différentielle d'un involution de G (un automorphisme de groupe vérifiant $\sigma^2 = 1$), on note G^σ le sous-groupe des points fixes de σ dans G et K la composante connexe de G^σ qui contient l'élément neutre e . L'espace G/K est appelé espace symétrique. Alors \mathfrak{k} est l'algèbre de Lie de K , mais en général \mathfrak{p} n'est pas une sous-algèbre de Lie car on a les relations suivantes $[\mathfrak{k}, \mathfrak{p}] \subset \mathfrak{p}$ et $[\mathfrak{p}, \mathfrak{p}] \subset \mathfrak{k}$. On peut identifier \mathfrak{p} à l'espace tangent $T_{eK}(G/K)$. Il existe cependant sur \mathfrak{p} un produit triple donné par la formule pour X, Y, Z dans \mathfrak{p}

$$(X, Y, Z) \mapsto [[X, Y], Z]. \quad (12)$$

Les espaces vectoriels munis de produits triples sont pour les espaces symétriques, ce que sont les algèbres de Lie pour les groupes de Lie ([Lo] **vol I**, paragraphe II-2).

L'application exponentielle définit un difféomorphisme local de \mathfrak{p} sur G/K . On la note Exp et on notera $\exp_{\mathfrak{g}}$ l'application exponentielle de \mathfrak{g} dans G . On en déduit alors l'existence d'une formule de Campbell-Hausdorff pour les espaces symétriques, définie de la manière suivante. Pour X et Y dans \mathfrak{p} proches de 0, il existe une série convergente $Z_{sym}(X, Y)$ à valeurs dans \mathfrak{p} telle que l'on ait

$$\exp_{\mathfrak{g}}(X)\text{Exp}(Y) = \text{Exp}(Z_{sym}(X, Y)).$$

En utilisant l'involution σ on trouve facilement

$$\exp_{\mathfrak{g}}(2Z_{sym}(X, Y)) = \exp_{\mathfrak{g}}(X) \exp_{\mathfrak{g}}(2Y) \exp_{\mathfrak{g}}(X). \quad (13)$$

Cela nous suggère de modifier le crochet de Lie pour \mathfrak{g} et de prendre plutôt deux fois le crochet. Notons \mathfrak{g}_2 l'algèbre de Lie ainsi obtenue et G_2 le groupe de Lie connexe et simplement connexe associé. Notons $\exp_{\mathfrak{g}_2}$ l'application exponentielle associée. On aura alors (le membre de droite est calculé dans G_2)

$$\exp_{\mathfrak{g}_2}(Z_{sym}(X, Y)) = \exp_{\mathfrak{g}_2}(X/2) \cdot \exp_{\mathfrak{g}_2}(Y) \cdot \exp_{\mathfrak{g}_2}(X/2). \quad (14)$$

2 Méthodes de déformation pour les espaces symétriques

2.1 Calcul de la formule de Campbell-Hausdorff

Comment exprimer maintenant $Z_{sym}(X, Y)$ en termes de diagrammes ? Cela revient à se demander comment on calcule les produits itérés de l'étoile-produit. La proposition suivante résout la question (voir l'article [Ko] paragraphe 8.3.3.2 pour un calcul analogue).

On considère $G_{n,3}$ l'ensemble des graphes étiquetés avec n points aériens et 3 points terrestres. On place les points terrestres en $0, s, 1$ avec $s \in]0, 1[$ (figure [5]). On étend la notion de graphes admissibles aux graphes de $G_{n,3}$ (voir section 1.1.2).

Notons $w_\Gamma(s)$ la valeur du coefficient obtenu par intégration de la forme Ω_Γ sur les configurations à s fixe (en d'autres termes on intègre sur les points aériens). On considère

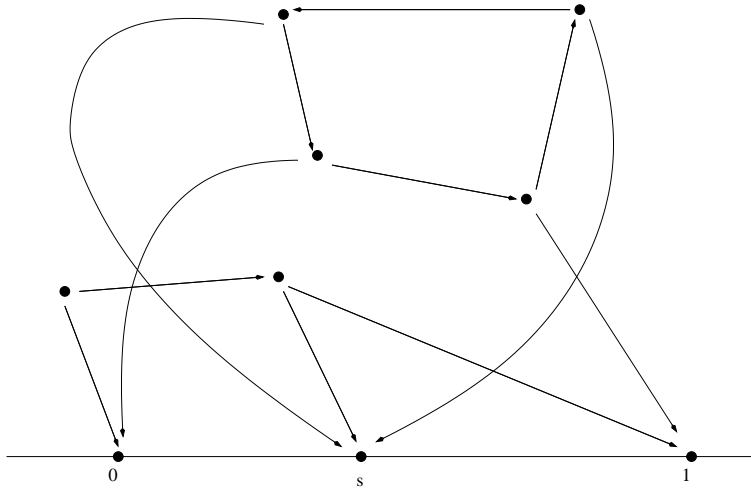


FIG. 5: Graphe avec trois points terrestres

la structure de Poisson linéaire sur \mathfrak{g}^* , donnée par la moitié du crochet de Lie. On note α le deux-vecteur associé.

Proposition 1. *Pour f, g, h trois fonctions régulières sur \mathfrak{g}^* on a*

$$f \star g \star k = fgk + \sum_{n=1}^{\infty} \frac{h^n}{n!} \sum_{\substack{\Gamma \in G_{n,3} \\ \Gamma \text{ admissible}}} w_\Gamma(s) B_\Gamma(f, g, k).$$

Preuve : On doit montrer deux choses, d'une part que l'expression de droite est indépendante de s et qu'elle vaut bien le terme de gauche.

On utilise le calcul de la dérivée de $w_\Gamma(s)$ comme dans [To1] paragraphe 4.1. Cela revient à utiliser la formule de Stokes de manière infinitésimale qui est à la base de l'associativité ([Ko] paragraphe 6.4). En pratique cela veut dire que l'on doit concentrer des points. Comme les points $0, s, 1$ sont sur l'axe réel, les concentrations que l'on doit

effectuer sont aériennes (sinon pour des raisons de dimension on se retrouve dans le cas [Ko] paragraphe 6.4.2.2). Les concentrations de plus de trois points aériens sont nulles ([Ko] lemme 6.6). Les seules expressions non nulles, proviennent alors des concentrations de deux points aériens. Elles se compensent par l'identité de Jacobi, à savoir $[\alpha, \alpha]_S = 0$ (crochet de Schouten). Le terme de droite est donc constant.

Maintenant lorsque s tend vers 0, on obtient toutes les concentrations de p points aériens avec leurs $2p$ arêtes. En effet, il faut tenir compte des composantes de bord dans les compactifications des espaces de configurations ([Ko] 6.4.2.1). Le résultat vaut alors la factorisation

$$(f \star g) \star k.$$

On en retrouve l'associativité de l'étoile-produit en considérant la limite quand s tend vers 1. \square

Remarque : Dans la proposition ci-dessus on n'a pas utilisé le fait que la structure de Poisson était linéaire, on en déduit que cette proposition est vraie pour tout deux-vecteur de Poisson.

Plaçons maintenant le point médian en $s = \frac{1}{2}$. On place en 0 la fonction $\exp(X/2)$, en $\frac{1}{2}$ la fonction $\exp(Y)$ et en 1 la fonction $\exp(X/2)$. On s'intéresse à la contribution des termes dans

$$\begin{aligned} & \exp(X/2) \star \exp(Y) \star \exp(X/2) = \\ & \exp(X + Y) + \sum_{n=1}^{\infty} \frac{h^n}{n!} \sum_{\substack{\Gamma \in G_{n,3} \\ \Gamma \text{ admissible}}} w_{\Gamma} \left(\frac{1}{2} \right) B_{\Gamma} \left(\exp(X/2), \exp(Y), \exp(X/2) \right). \end{aligned} \quad (15)$$

Le bivecteur de Poisson intervenant est comme d'habitude la moitié du crochet de Lie (n'oublions pas que l'on travaille dans \mathfrak{g}_2). On fait maintenant intervenir la symétrie par rapport à la droite $x = \frac{1}{2}$. Si Γ est un graphe, on note Γ^{\wedge} le graphe symétrisé. Clairement, les quantités

$$B_{\Gamma} \left(\exp(X/2), \exp(Y), \exp(X/2) \right)$$

et

$$B_{\Gamma^{\wedge}} \left(\exp(X/2), \exp(Y), \exp(X/2) \right)$$

sont égales. Par contre on a $w_{\Gamma^{\wedge}} = (-1)^n w_{\Gamma}$. On en déduit que les contributions des termes avec n impair sont nulles.

La géométrie et la combinatoire des graphes intervenant dans la formule (15) est clairement identique à celle du paragraphe 1.2. On étend donc toutes les notions rappelées au paragraphe 1.2.

On note de la même façon que précédemment le symbole de l'opérateur B_Γ lorsqu'on prend pour deux-vecteur de Poisson le crochet de Lie de \mathfrak{g}_2 . On a donc

$$\Gamma(X, Y) = B_\Gamma\left(\exp(X/2), \exp(Y), \exp(X/2)\right) \exp(-X - Y). \quad (16)$$

On en déduit, comme dans l'équation (8), que le membre de gauche dans (15) est un produit de deux termes de type exponentiel correspondant aux contributions des graphes simples de type roue et aux contributions des graphes simples de type Lie. La contribution dans (15) des graphes admissibles dont les composantes simples sont de type Lie calcule le terme de droite dans (14) (c'est le théorème 5.1 de [Ka]). Par conséquent la contribution des graphes simples de type Lie dans (15) correspond à la formule de Campbell-Hausdorff pour les espaces symétriques par (14).

En considérant les graphes géométriques associés, on en déduit comme pour la formule (7) la proposition suivante :

Proposition 2. *La formule de Campbell-Hausdorff pour les espaces symétriques s'écrit pour X et Y dans \mathfrak{p} :*

$$Z_{sym}(X, Y) = X + Y + \sum_{\Gamma} w_\Gamma \left(\frac{1}{2}\right) \Gamma(X, Y)$$

avec la somme portant sur les graphes simples géométriques de type Lie avec trois points terrestres. En particulier on a bien $Z_{sym}(X, Y) \in \mathfrak{p}$.

Pour les mêmes raisons que [ADS] lemme 2.2 et 2.3 ou [AST] proposition 3.9, les séries associées sont convergentes pour X et Y dans \mathfrak{p} proches de 0. On peut donc prendre $h = 1$ et on obtient

$$\exp(X/2) \star \exp(Y) \star \exp(X/2) = D_{sym}(X, Y) \exp(Z_{sym}(X, Y)). \quad (17)$$

Notons $J_{\mathfrak{g}}(X)$ le jacobien de l'application Exp. On a la formule classique

$$J_{\mathfrak{g}}(X) = \det_{\mathfrak{p}} \left(\frac{\sinh \operatorname{ad} X}{\operatorname{ad} X} \right). \quad (18)$$

En utilisant la fonction de densité (10) pour les algèbres de Lie et l'associativité de l'étoile-produit, on peut calculer sans difficulté la fonction de densité $D_{sym}(X, Y)$. On obtient

$$D_{sym}(X, Y) = \frac{j_{\mathfrak{g}_2}(X/2) j_{\mathfrak{g}_2}(Y)^{1/2}}{j_{\mathfrak{g}_2}(Z_{sym}(X, Y))^{1/2}} \quad (19)$$

où la fonction $j_{\mathfrak{g}_2}$ (11) est calculée pour le crochet double. Or pour $X \in \mathfrak{p}$ on a

$$j_{\mathfrak{g}_2}(X) = \exp(-\operatorname{tr}_{\mathfrak{g}}(\operatorname{ad} X)) J_{\mathfrak{g}}(X)^2$$

avec membre de droite calculé pour le crochet simple. On en déduit le lemme

Lemme 1. *On a la formule*

$$D_{sym}(X, Y) = \frac{J_{\mathfrak{g}}(X/2)^2 J_{\mathfrak{g}}(Y)}{J_{\mathfrak{g}}(Z_{sym}(X, Y))}. \quad (20)$$

2.2 Première Déformation

On va effectuer maintenant une première déformation de la formule de Campbell-Hausdorff et de la fonction de densité. Elle consiste à déformer les coefficients w_Γ en déplaçant les points terrestres dans le demi-plan de Poincaré ([Ko] 8.2.3).

La première déformation correspond typiquement au graphe de la figure [6] où la position du point associé à $\exp(Y)$ est repéré par la variable t . Cette variable désigne la position du point dans $\overline{C_{1,2}^+}$, avec le point aérien sur la droite d'équation $x = \frac{1}{2}$. Cela revient à considérer des graphes simples de type Lie de $G_{n,3}$, où on a placé les points de deuxième espèce en $(0, t, 1)$.

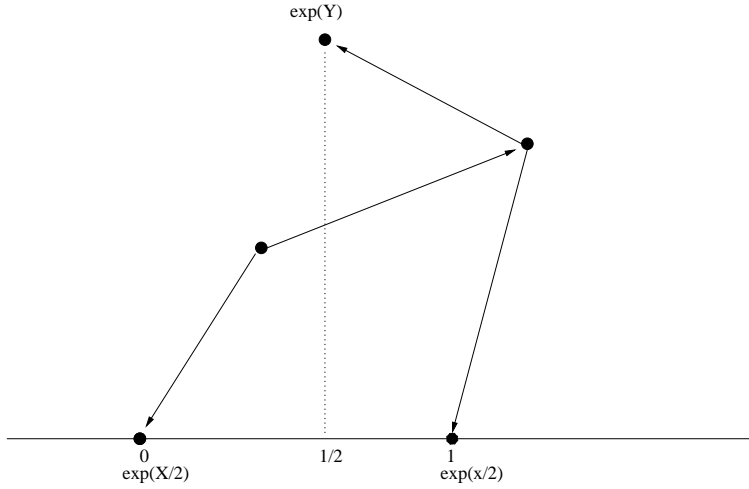


FIG. 6: Première déformation typique

On ajoute un indice t pour signifier la dépendance en t . La règle concernant les symétries dans les coefficients $w_\Gamma(t)$ joue de la même façon que précédemment. Seuls les termes avec un nombre pair de sommets de première espèce vont intervenir.

On effectue comme dans [To1] paragraphe 4.1 le calcul de la dérivée de la fonction

$$Z_{sym,t}(X, Y) = X + Y + \sum_{\Gamma} w_\Gamma(t) \Gamma(X, Y). \quad (21)$$

On ne doit considérer que les concentrations d'un point aérien sur $\exp(Y)$, les autres concentrations donnant soit directement 0 ([Ko] lemme 6.6) soit s'annulant par compensation due à l'identité de Jacobi. On se retrouve avec des coefficients dérivés correspondant à des graphes du genre de la figure [7].

Le coefficient $w_{A,B}(t)$ correspondant à un graphe comme dans la figure [7] contient un terme en dt . Pour les mêmes raisons que celles expliquées dans [To1] proposition 4.1, le coefficient $w_{A,B}(t)$ se factorise en un produit $\widetilde{w}_A(t)w_B(t)$ où $w_B(t)$ se calcule à t constant et $\widetilde{w}_A(t)$ contient toute la contribution de la différentielle en t . En regroupant les graphes

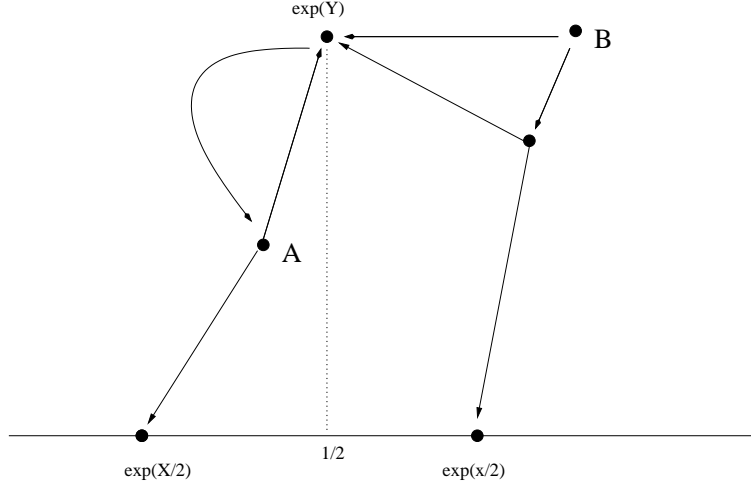


FIG. 7: Contribution Type dans la dérivée

qui dégènèrent de la même manière, on fait apparaître un terme, au niveau des symboles, du genre

$$\partial_Y B(X, Y) \cdot [Y, A(X, Y)] \quad (22)$$

où A, B désignent par abus les symboles des graphes A, B . Ces graphes sont forcément des graphes simples admissibles de type Lie (avec points de deuxième espèce placés en $(0, t, 1)$). Remarquons par ailleurs qu'il s'agit bien du crochet de Lie, car on a pris le deux-vecteur de Poisson associé au crochet de Lie. Pour des raisons de symétrie, on aura une contribution non triviale des coefficients lorsque le graphe B a un nombre pair de sommets de première espèce et le graphe A un nombre impair de sommets de première espèce (à cause de l'arête qui joint le point maintenant aérien t à la racine de A). La factorisation du coefficient permet alors de tout factoriser comme dans [To1] théorème 4.2 :

$$\sum_{A,B} w_{A,B}(t)[Y, A(X, Y)] \cdot \partial_Y B(X, Y) = \sum_{A,B} w_B(t)\widetilde{w}_A(t)[Y, A(X, Y)] \cdot \partial_Y B(X, Y) \quad (23)$$

$$[Y, \sum_A \widetilde{w}_A(t)A(X, Y)] \cdot \partial_Y \left(\sum_B w_B(t)B(X, Y) \right) = [Y, F_t] \cdot \partial_Y Z_{sym,t}(X, Y). \quad (24)$$

La convention des signes de [AMM] I.2.1, pour l'orientation des strates donne le signe final. Par ailleurs l'étiquetage des graphes n'a plus d'importance une fois qu'on a considéré le produit du coefficient et du symbole (car il y a compensation des signes). On peut donc travailler directement avec les graphes géométriques.

Pour la fonction de densité on procède comme dans [To1] paragraphe 5.2 et on obtient alors les mêmes équations que celles que nous avons établies dans [To1] théorème 4.2 et théorème 5.2. Par suite on peut énoncer le théorème suivant :

Théorème 1. *Soit (\mathfrak{g}, σ) une paire symétrique réelle. Il existe une série convergente en X, Y dans un voisinage de 0 dans \mathfrak{p} , on la note $F_t(X, Y)$. Elle est à valeurs dans \mathfrak{k} et c'est une 1-forme en t . Il existe une déformation de la formule de Campbell-Hausdorff pour les espaces symétriques, on la note $Z_{sym,t}(X, Y)$ et il existe enfin une déformation de la fonction de densité, on la note $D_{sym,t}(X, Y)$ telles que l'on ait*

$$dZ_{sym,t}(X, Y) = [Y, F_t(X, Y)] \cdot \partial_Y Z_{sym,t}(X, Y) \quad (25)$$

et

$$dD_{sym,t}(X, Y) = [Y, F_t(X, Y)] \cdot \partial_Y D_{sym,t}(X, Y) + \text{tr}_{\mathfrak{g}}\left(D_Y F_t \circ \text{ad}(Y)\right) D_{sym,t}(X, Y). \quad (26)$$

La 1-forme $F_t(X, Y)$, correspond à

$$\sum_A \widetilde{w}_A(t) A(X, Y) \quad (27)$$

avec A un graphe simple géométrique de type Lie (où les points de deuxième espèce sont placés en $(0, t, 1)$) et w_A le coefficient calculé en ajoutant une arête du point t vers le sommet de A comme dans la figure [7]. La notation $D_Y F_t(X, Y)$ signifie que l'on a pris la différentielle partielle de F_t en Y .

2.3 Modification de la fonction de densité pour les espaces symétriques : cas résoluble et très symétrique

Les équations obtenues dans le théorème précédent ne sont pas satisfaisantes du point de vue des espaces symétriques. En effet au lieu de trouver une $\text{tr}_{\mathfrak{g}}$ on aurait aimé trouver une $\text{tr}_{\mathfrak{k}}$ dans (26).

Comme $D_Y F_t$ et $\text{ad}(Y)$ sont des endomorphismes de \mathfrak{g} qui envoient \mathfrak{k} sur \mathfrak{p} et \mathfrak{p} sur \mathfrak{k} , on en déduit que l'on a

$$\text{tr}_{\mathfrak{p}}\left(\text{ad}(Y) \circ D_Y F_t\right) = \text{tr}_{\mathfrak{k}}\left(D_Y F_t \circ \text{ad}(Y)\right) \quad (28)$$

puis

$$\text{tr}_{\mathfrak{g}}\left(D_Y F_t \circ \text{ad}(Y)\right) = 2\text{tr}_{\mathfrak{p}}\left(\text{ad}(Y) \circ D_Y F_t\right) - \text{tr}_{\mathfrak{k}}\left([D_Y F_t, \text{ad}(Y)]\right) \quad (29)$$

Lemme 2 ([Rou1] page 573). *Pour les espaces symétriques résolubles et les paires très symétriques le commutateur $[D_Y F_t, \text{ad}(Y)]$ est à trace nulle sur \mathfrak{k} .*

On en déduit alors, que l'on peut transformer facilement les traces sur \mathfrak{g} en des traces sur \mathfrak{p} à condition que le terme $\text{tr}_{\mathfrak{k}}([D_Y F_t, \text{ad}Y])$ soit nul. C'est exactement l'argument de Rouvière. En particulier on trouve que ce terme est nul dans le cas des paires symétriques résolubles et des paires très symétriques ([Rou1] paragraphe 5.3). Une paire très symétrique est la donnée d'une paire symétrique et d'un automorphisme commutant

aux $\text{ad}X$ et qui envoie \mathfrak{p} sur \mathfrak{k} et \mathfrak{k} sur \mathfrak{p} ([Rou1] paragraphe 5). Pour les paires très symétriques on a facilement ([Rou1] paragraphe 5.3 page 573)

$$\text{tr}_{\mathfrak{k}}(D_Y F_t \circ \text{ad}Y) = \text{tr}_{\mathfrak{p}}(D_Y F_t \circ \text{ad}Y) = \text{tr}_{\mathfrak{k}}(\text{ad}Y \circ D_Y F_t). \quad (30)$$

Des exemples connus de paires très symétriques, sont les paires $\mathfrak{g} \times \mathfrak{g}/\mathfrak{g}$ et $\mathfrak{g}_{\mathbb{C}}/\mathfrak{g}_{\mathbb{R}}$. Dans le premier cas, on prend $(X, Y) \mapsto (X, -Y)$ et dans le second cas on prend la multiplication par i .

Conclusion : Dans le cas des espaces symétriques il est utile de prendre la racine carrée de la fonction de densité pour obtenir une trace sur \mathfrak{k} (afin de compenser le coefficient 2 dans (29)).

2.4 Calcul de la fonction de densité à l'infini

On fait tendre t vers l'infini, ce qui revient au même de fixer le point aérien en $\frac{1}{2} + i$ et de faire tendre les deux points terrestres vers $\frac{1}{2}$. On détermine facilement la valeur de la fonction de densité à l'infini.

Avant cela introduisons une autre fonction de densité que l'on note $E_{1/2}(X, Y)$, correspondant aux contributions des graphes admissibles dont les composantes simples sont de type roue et dont les points de deuxième espèce sont placés en $\frac{1}{2}$ (correspondant à $\exp(X)$) et en $\frac{1}{2} + i$ (correspondant à $\exp(Y)$) (voir figure [8]). Par ailleurs les points de première espèce sont associés au deux-vecteur de Poisson associé au crochet de Lie.

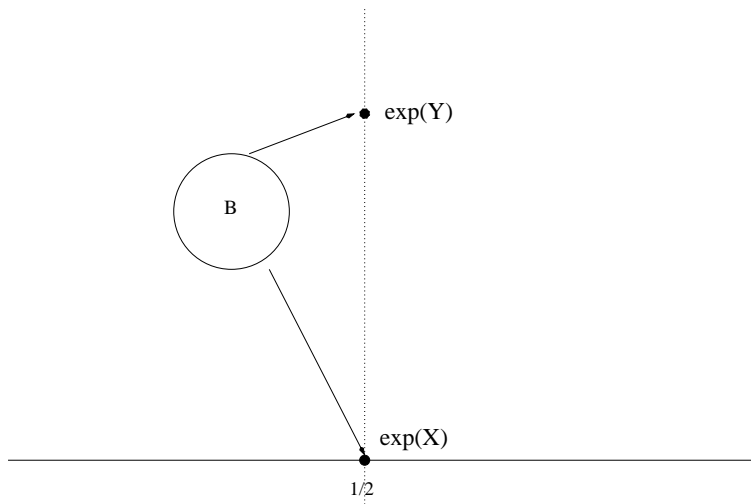


FIG. 8: Contribution Type dans la fonction de densité $E_{1/2}(X, Y)$

De manière analogue on notera $\exp(Z_{1/2}(X, Y))$ la contribution des graphes admissibles dont les composantes simples sont de type Lie et dont les points de deuxième espèce

sont placés en $\frac{1}{2}$ et en $\frac{1}{2} + i$ (voir figure [9]).

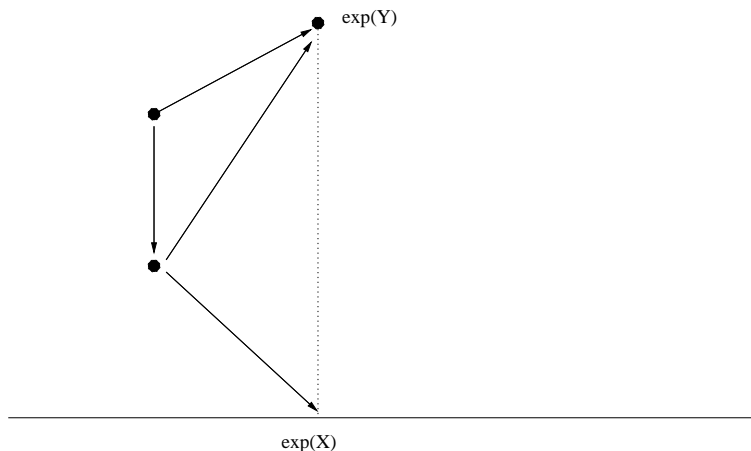


FIG. 9: Contribution Type dans $Z_{1/2}$

Proposition 3. *Lorsque le point t tend vers l'infini dans la direction imaginaire, on obtient*

$$D_{sym,\infty}(X, Y) = E_{1/2}(X, Y) \frac{J_{\mathfrak{g}}^2(X/2)}{J_{\mathfrak{g}}(X)} \quad (31)$$

Preuve : En approchant les deux points terrestres vers $\frac{1}{2}$, on doit tenir compte de toutes les concentrations de points aériens sur ces points terrestres. Cela ajoute un terme correspondant à la fonction de densité pour les algèbres de Lie (10), où l'on place $\exp(X/2)$ et $\exp(X/2)$ aux points terrestres, ce qui donne

$$\frac{j_{\mathfrak{g}_2}(X/2)}{j_{\mathfrak{g}_2}(X)^{1/2}} = \frac{J_{\mathfrak{g}}^2(X/2)}{J_{\mathfrak{g}}(X)}. \square$$

2.5 Interprétation dans l'œil de Kontsevich

Lorsqu'on a rapproché nos deux points terrestres en $\frac{1}{2}$, on retrouve des graphes admissibles où les points de seconde espèce sont placés en $(\frac{1}{2} + i, \frac{1}{2})$. C'est donc un point dans $\overline{\mathcal{C}}_{2,0}$ positionné sur la paupière de l'œil et sur l'axe de symétrie voir figure ([10]). Cela explique notre choix de notation : on est à la moitié sur la paupière.

2.6 Application à la convolution des distributions K -invariantes sur les espaces symétriques résolubles ou très symétriques

En reprenant d'une part les arguments énoncés dans [AST] paragraphe 4 et [KV] paragraphe 2 sur la convolution des germes de distributions invariantes et d'autre part les définitions de [Rou1] paragraphe 3 pour la convolution sur \mathfrak{p} , on déduit le théorème suivant (pour simplifier les notations on a noté J pour $J_{\mathfrak{g}}$) :

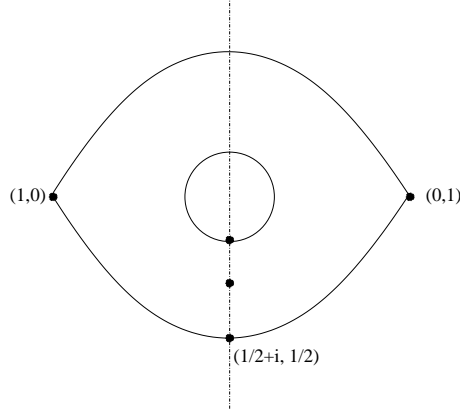


FIG. 10: Le point de déformation reste sur l'axe $x = \frac{1}{2}$

Théorème 2. Soit (\mathfrak{g}, σ) une paire symétrique résoluble ou très symétrique. Soient $u(x)$ et $v(y)$ des germes de distributions ad \mathfrak{k} -invariantes en 0 dans \mathfrak{p} à supports compatibles. On a alors la formule suivante

$$\left\langle u(x)v(y), \frac{J^{1/2}(x)J^{1/2}(y)}{J^{1/2}(z_{sym}(x, y))} \Phi(z_{sym}(x, y)) \right\rangle = \left\langle u(x)v(y), E_{1/2}^{1/2}(x, y) \Phi(z_{1/2}(x, y)) \right\rangle$$

pour Φ une fonction test à support dans un voisinage de 0 dans \mathfrak{p} .

Preuve : Les problèmes de convergence et la définition de supports compatibles sont étudiés dans [Rou1] paragraphe 3.3. La méthode est par ailleurs strictement identique. On se contente donc de la partie formelle.

On a introduit une déformation de la formule de Campbell-Hausdorff et de la fonction de densité. On a donc une dépendance en t

$$\Psi(t) = \left\langle u(x)v(y), D_{sym,t}^{1/2}(x, y) \Phi(z_{sym,t}(x, y)) \right\rangle. \quad (32)$$

On calcule facilement la dérivée en t , compte tenu des équations (25) et (26) du théorème 1. L'invariance du germe $v(y)$ signifie que l'on a

$$v(y)[y, F_t(x, y)] \cdot \partial_y = -\text{tr}_{\mathfrak{p}} \left(\text{ad}(y) \circ D_Y F_t \right) v(y), \quad (33)$$

On obtient alors

$$\Psi'(t) = \left\langle u(x)v(y), m_t(x, y) D_{sym,t}^{1/2}(x, y) \Phi(z_{sym,t}(x, y)) \right\rangle \quad (34)$$

avec $m_t(x, y) = -\frac{1}{2} \text{tr}_{\mathfrak{k}}([D_Y F_t, \text{ad}y])$. En effet l'invariance fait disparaître le terme en $\text{tr}_{\mathfrak{p}}$ dans (29) (n'oublions pas que l'on a pris la racine carrée). Lorsque (\mathfrak{g}, σ) est une paire très symétrique ou une paire résoluble, la trace sur \mathfrak{k} du crochet est nulle par le lemme 2. On en déduit que la fonction Ψ est constante.

Il vient $\Psi(0) = \Psi(\infty)$, puis en utilisant (20) et (31)

$$\begin{aligned} \left\langle u(x)v(y), \frac{J(x/2)J(y)^{1/2}}{J(z_{sym}(x,y))^{1/2}}\Phi(z_{sym}(x,y)) \right\rangle = \\ \left\langle u(x)v(y), E_{1/2}^{1/2}(x,y)\frac{J(x/2)}{J(x)^{1/2}}\Phi(z_{1/2}(x,y)) \right\rangle. \end{aligned} \quad (35)$$

En changeant un peu l'ordre des termes et en simplifiant par $J(x/2)$ (la fonction J est invariante par K et l'énoncé vaut pour tous germes de distributions invariante) on trouve

$$\begin{aligned} \left\langle u(x)v(y), \frac{J(x)^{1/2}J(y)^{1/2}}{J(z_{sym}(x,y))^{1/2}}\Phi(z_{sym}(x,y)) \right\rangle = \\ \left\langle u(x)v(y), E_{1/2}^{1/2}(x,y)\Phi(z_{1/2}(x,y)) \right\rangle. \square \end{aligned} \quad (36)$$

Conclusion : dans les cas de paires symétriques étudiées, on a trouvé une déformation adéquate vis à vis de la convolution des germes de distributions invariante sur les espaces symétriques.

2.7 Deuxième déformation

On utilise maintenant la deuxième déformation, qui consiste à déplacer dans $\overline{C_{2,0}}$ notre point de la paupière vers l'iris de l'œil tout en restant sur l'axe de symétrie vertical de l'œil. En d'autres termes, on fait se rapprocher les deux points de seconde espèce sur l'axe $x = \frac{1}{2}$.

C'est la déformation que l'on a utilisé dans [To1]. La situation est alors stricto sensu identique. Les équations que l'on obtient sont celles de [To1] théorème 4.2 et théorème 5.2. Compte tenu des symétries pour les coefficients et le fait que X et Y sont dans \mathfrak{p} , il est certain que nos champs adjoints sont dans \mathfrak{k} . Comme on restreint notre étude au cas des espaces symétriques résolubles ou très symétriques, on peut grâce au lemme 2, transformer dans l'équation différentielle (26) la trace sur \mathfrak{g} en une trace sur \mathfrak{k} (ou sur \mathfrak{p}) à condition de prendre la racine carrée de la fonction de densité.

Sur l'iris de l'œil cette fonction de densité vaut 1 d'après [Sh] et la déformation de CBH vérifie $Z_{1/2,iris}(X,Y) = X + Y$. On a donc établi le théorème suivant (on note J pour $J_{\mathfrak{g}}$) :

Théorème 3. *Soit (\mathfrak{g}, σ) une paire symétrique résoluble ou très symétrique. Soient $u(x)$ et $v(y)$ des germes de distributions ad \mathfrak{k} -invariantes en 0 dans \mathfrak{p} à supports compatibles. Pour Φ une fonction test à support dans un voisinage de 0 dans \mathfrak{p} , on a alors la formule suivante*

$$\left\langle u(x)v(y), \frac{J^{1/2}(x)J^{1/2}(y)}{J^{1/2}(z_{sym}(x,y))}\Phi(z_{sym}(x,y))dx dy = \int u(x)v(y)\Phi(x+y) \right\rangle.$$

Remarques finales :

1. Quand (\mathfrak{g}, σ) est une paire symétrique résoluble, le théorème ci-dessus est démontré par Rouvière [Rou1] théorème 3.6 en utilisant une déformation homogène de la formule de Campbell-Hausdorff comme dans [KV].
2. Les déformations utilisées dans cet article sont régulières mais leur jonction n'est pas différentiable. Cela explique notre choix d'exposition en deux parties et nous permet heureusement de retrouver les résultats de [Rou1].
3. Lorsque $u(x)$ et $v(y)$ correspondent à des distributions de support 0, on retrouve que la symétrisation modifiée par la racine carrée du jacobien, constitue un isomorphisme d'algèbre de $S[\mathfrak{p}]^\mathfrak{k}$ (les symboles K -invariants) sur $(U(\mathfrak{g})/U(\mathfrak{g}) \cdot \mathfrak{k})^\mathfrak{k}$, l'algèbre des opérateurs différentiels invariants sur l'espace symétrique G/K . C'est l'isomorphisme de Rouvière dans le cas des espaces symétriques résolubles (voir [To2] pour une synthèse sur ce problème).
4. On sait qu'en général on ne peut pas obtenir un tel transport des distributions invariantes en utilisant une modification aussi simple de l'application exponentielle. On peut s'en convaincre par exemple en examinant ce qu'est l'homomorphisme d'Harish-Chandra du cas semi-simple (non très symétrique). Pour pallier cette difficulté Rouvière a introduit une fonction auxiliaire dans [Rou2], [Rou3], [Rou4] pour les fibrés en droites sur G/K , notée $e_\lambda(x, y)$. Il semble opportun de relier ces résultats avec les méthodes décrites dans cet article. Ce programme de recherche est annoncé dans [To2].

Références

- [ADS] M. Andler, A. Dvorsky and S. Sahi, Kontsevich quantization and invariant distributions on Lie groups. *Ann. Sci. de l'Ecole Norm. Sup.* **35** (2002), no. 3, 371–390.
- [AST] M. Andler, S. Sahi and C. Torossian, *Convolution of invariant distributions on Lie groups*, e-print, arXiv : math. QA/0104100.
- [AMM] D. Arnal, D. Manchon, M. Masmoudi, Choix des signes dans la formalité de Kontsevich. *Pacific J. Math.* vol. 203 No 1, 23-66 (2002).
- [Du] M. Duflo, Opérateurs différentiels bi-invariants sur un groupe de Lie. *Ann. Sci. de l'Ecole Norm. Sup.* **10** (1977), 107–144.
- [Ka] V. Kathotia, Kontsevich universal formula for quantization and the Campbell-Baker-Hausdorff formula. *Internat. J. Math.* **11** (2000), no. 4, 523–551.
- [KV] M. Kashiwara and M. Vergne, The Campbell-Hausdorff formula and invariant hyperfunctions. *Inventiones Math.* **47** (1978), 249–272.
- [Ko] M. Kontsevich, *Deformation quantization of Poisson manifolds I*, e-print, math. QA/9709040.
- [Lo] Loos O., *Symmetric Spaces I-II*. Benjamin, New-York, 1969.
- [Mo] T. Mochizuki, On the morphism of Duflo-Kirillov type. *J. Geom. Phys.*, **41** (2002), 73–113.

- [Rou1] F. Rouvière, Espaces symétriques et méthodes de Kashiwara-Vergne. *Ann. Sci. de l'École Norm. Sup.* **19** (1986), 553–581.
- [Rou2] F. Rouvière, Invariant analysis and contractions of symmetric spaces I. *Compositio Math.* **73** (1990), 241–270.
- [Rou3] F. Rouvière, Invariant analysis and contractions of symmetric spaces II. *Compositio Math.* **80** (1991), 111–136.
- [Rou4] F. Rouvière, Fibrés en droites sur un espace symétrique et analyse invariante. *J. Funct. Anal.* **124** (1994), 263–291.
- [Sh] B. Shoikhet, Vanishing of the Kontsevich integrals of the wheels. EuroConférence Moshé Flato 2000, Part II (Dijon). *Lett. Math. Phys.* **56** (2001), no. 2, 141–149.
- [To1] C. Torossian, *Sur la formule combinatoire de Kashiwara-Vergne*, *Journal of Lie Theory*, **12** (no. 2) (2002), 597–616.
- [To2] C. Torossian, *Trois perspectives autour des opérateurs différentiels invariants*, Thèse d'Habilitation à diriger les recherches de l'Université de Paris VII, décembre 2001, <http://www.dma.ens.fr/~torossia/publication/pubindex.html>.
- [Ve] M. Vergne, Le centre de l'algèbre enveloppante et la formule de Campbell-Hausdorff, *C. R. Acad. Sci. Paris*, **329** (1999), Série I, 767–772.

C. Torossian
 UMR 8553 du CNRS, DMA, École Normale Supérieure
 45 rue d'Ulm 75230 Paris cedex 05